## 연접 혼돈 맵으로 생성된 이진 수열에 대한 분석

최효정, 송홍엽

연세대학교

{hjchoi3022, hysong}@yonsei.ac.kr,

# Analysis of binary sequences generated by cascade chaotic maps

Hyojeong Choi and Hong-Yeop Song Yonsei Univ.

요 약

본 논문은 세 개의 시드맵 (seed maps)을 사용하여 생성된 이진 수열들의 여러 특성들을 분석한다. 먼저, 세 개의 시드맵을 사용한 연접 혼돈 시스템들의 리아푸노프 지수(Lyapunov Exponent)를 비교한다. 그리고 이들의 출력 실수 수열은 두 가지 서로 다른 이진 맵핑 방법을 사용하여 이진 수열로 변환하여 상관 및 균형 특성을 m-수열과 비교하고 NIST 테스트를 통해 통계적으로 랜덤 특성을 검증한다.

#### I. 서 론

혼돈 맵(Chaotic map)은 미세한 초기 값의 차이만으로도 완전히 다른 실수 값이 도출되는 비선형 함수이다. 이러한 특성으로 인해 서로 다른 무한한 수열을 쉽게 생성할 수 있으므로 의사 잡음 코드(PN code)를 사용하는 기존의 직접 수열 대역 확산 (Direct Sequence Spread Spectrum, DSSS) 시스템에서 혼돈 수열의 사용이 연구되어왔다[1,2].

혼돈 맵의 혼돈 성능은 직접적으로 증명하는 것이 매우 어렵기 때문에. 두 인접한 초기 값으로 생성된 혼돈 맵의 출력 수열 간의 변동을 정량화한 파라미터인 리아푸노프 지수(Lyapumov Exponent, LE)로 혼돈 성능을 판단한다[3-5]. 단일 혼돈 맵은 비교적 낮은 리아푸노프 지수를 갖기 때문에 최근 암호학 연구에서 리아푸노프 지수를 향상시키기 위한 연구가 진행되어왔다. [4]에서는 두 개의 단일 맵을 연접하여 더 나은 혼돈 성능을 갖는 연접 혼돈 시스템(Cascade Chaotic System, CCS)을 소개하였고, 두개의 단일맵을 연접하였을 때의 리아푸노프 지수는 두 단일 맵의 각각의리아푸노프 지수의 합이 되는 것을 증명했다.

본 논문에서는 세 개의 단일 맵을 사용한 연접 혼돈 시스템을 고려한다. 먼저, 이들의 리아푸노프 지수를 비교하고, 이러한 연접 혼돈 시스템의 출력 실수 수열을 [4]에서 제안한 이진 맵핑 방식과 임계값 이진 맵핑 방식을 적용하여 이진 수열로 변환하여 이들의 상관 및 균형 특성, 그리고 NIST test 결과를 m-수열과 비교한다.

## Ⅱ. 본론

#### A. 단일 혼돈 맵

본 논문에서는 혼돈 맵으로 Logistic map, Chebyshev map, 그리고 Sine map을 고려한다. Logistic map은 다음 식 (1)로 정의되는 함수이다.

$$x_{n+1} = \mu x_n (1 - x_n) \tag{1}$$

여기서  $1 \leq \mu \leq 4$ 이고  $x_n \in (0,1)$ 이다. 이 함수는  $3.5699 < \mu \leq 4$ 

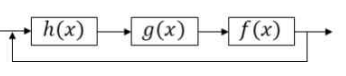


그림 1. 연접 혼돈 시스템

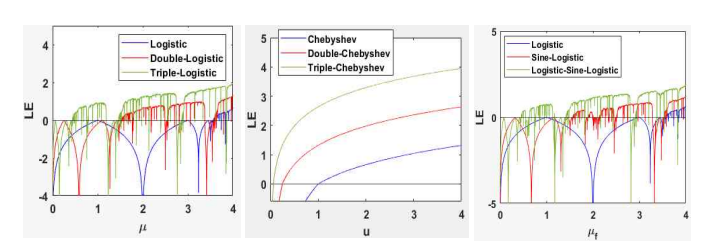


그림 2. 연접 혼돈 시스템의 리아푸노프 지수

일 때 혼돈 상태가 된다. Chebychev map은 다음 식 (2)으로 정의되는 함수이다.

$$x_{n+1} = \cos(u \cdot \arccos(x_n)) \tag{2}$$

여기서  $0 \le u \le 4$ 이고  $x_n \in [-1,1]$ 이다. 이 함수는  $\mu \ge 2$ 일 때 혼 돈 상태가 된다. Sine map은 다음 식 (3)으로 정의되는 함수이다.

$$x_{n+1} = r \cdot \sin(\pi \cdot x_n) \tag{3}$$

여기서  $0 \le r \le 1$ 이고  $x_n \in (0,1)$ 이다. 이 함수는  $0.867 < r \le 1$ 일 때 혼돈 상태가 된다.

### B. 연접 혼돈 시스템

본 논문에서는 그림 1과 같이 세 개의 단일 맵을 결합하여 다음과 같이 정의되는 연접 혼돈 시스템을 고려한다.

$$x_{n+1} = \Gamma(x_n) = f(g(h(x_n))) \tag{4}$$

본 논문에서는 서로 다른 fractal 파라미터를 갖는 세 개의 Logistic map 을 연접시킨 Triple-Logistic map과 세 개의 Chebyshev map을 연접시킨

	길이: 10000				길이: 100000			
분류	초기값: 0.4001-0.4100				초기값: 0.4001-0.4100			
	정규화된 자기상관		정규화된 상호상관		정규화된 자기상관		정규화된 상호상관	
	sidelobe	sidelobe max	평균	max 평균	sidelobe	sidelobe max	평균	max 평균
	평균	평균	생긴		평균	평균		
Triple-Logistic	≈ 0.008	≈ 0.04	≈ 0.008	≈ 0.04	≈ 0.002	≈ 0.01	≈ 0.002	$\approx 0.01$
Triple-Cheby.								
LogiSine-Logi.	$\approx -21 dB$	≈-14dB	$\approx -21 dB$	$\approx -14 dB$	$\approx -27 dB$	≈-20dB	$\approx -27 dB$	$\approx -20 \text{dB}$
<i>m</i> -수열	$\approx 0.006$	$\approx 0.02$		-	$\approx 0.001$	$\approx 0.007$	_	-
	$\approx$ $-22$ dB	≈-16dB	_		≈-28dB	$\approx -21 \text{dB}$		

표 1. 이진 혼돈 수열과 m-수열의 상관 특성

	길이: 10000						
	초기값: 0.4001-0.4100						
분류	0 평균	' 비율	1 평균 비율				
	[4] H]. x]	임계값	[4] 14]. 2]	임계값			
	[4] 방식	방식	[4] 방식	방식			
Triple-Logi.	50.0285	50.0581	49.9715	49.9419			
Triple-Cheby.	50.0076	50.0068	49.9924	49.0068			
LogiSine-Logi.	49.9675	50.0081	50.0325	49.9919			

표 2. 두 가지 이진 맵핑 방식에 대한 이진 혼돈 수열의 균형 특성

분류	<u>.</u>	Freq.	Run	Rank	DFT
Twinle	[4]방식	0.73991	0.99146	0.53414	0.35048
Triple- Logi.	임계값 방식	0.35048	0.5314	0.73391	0.12232
Triple- Cheby.	[4]방식	0.21330	0.73991	0.35048	0.91141
	임계값 방식	0.11538	0.18155	0.00237	0.21330
Logi Sine-Logi.	[4]방식	0.73991	0.21330	0.12232	0.91141
	임계값 방식	0.06688	0.91141	0.73991	0.23309
<i>m</i> -수열		0.26224	0.22482	0.00000	0.00032

표 3. 이진 혼돈 수열의 NIST test 결과

Triple-Chebyshev map, 그리고 Logistic map, Sine map, Logistic map을 차례로 연접시킨 Logistic-Sine-Logistic map을 고려한다. 그림 2는 이들의 리아푸노프 지수를 보여준다. 그림에서 볼 수 있듯이 두 개의 단일 맵을 연접시킨 경우보다 향상된 리아푸노프 지수를 갖는 것을 확인했다.

#### C. 이진 혼돈 수열의 특성 분석

본 논문에서는 연접 혼돈 시스템의 출력 실수 수열을 [4]에서 제안한 이진 맵핑 방식과 임계값 이진 맵핑 방식을 사용하여 이진 수열로 변환한다. [4]에서 제안하는 이진 맵핑 방식은 각 실수 출력을 IEEE 754 표준을기반으로 52비트 이진 수열로 변환한 뒤 이를 8비트로 잘라서 한번의 반복에 대해 8비트 이진 수열이 출력된다. 자세한 방법은 [4]의 Section VI에 설명되어있다. 임계값 이진 맵핑 방식은 해당 혼돈 수열의 도메인의 중간값을 임계값으로 설정하여 임계값보다 크면 1로, 작으면 0으로 맵핑하는 방식이다.

표 1에서는 연접 혼돈 수열을 두 가지 이진 맵핑 방식으로 생성된 길이 10000과 100000인 이진수열의 상관 특성과 m-수열의 상관 특성을 보여준다. 우리가 고려하고 있는 두가지 이진 맵핑 방식에 대한 결과가 매우유사하여 따로 분류하지 않았다. 표 1에서 볼 수 있듯이 연접 혼돈 수열보다 m-수열의 자기 상관 특성이 약 1dB정도 좋은 성능을 보이며, 길이가

10배 증가 함에 따라 전체적으로 약 6dB정도 좋은 상관특성을 갖는다. 표 2는 두가지 이진 맵핑 방식에 대한 이진 혼돈 수열의 균형 특성을 보여 준다. 실험결과, 모두 좋은 균형 특성을 갖는 것을 확인했다.

표 3은 두가지 이진 맵핑 방식에 대한 이진 혼돈 수열과 m-수열의 NIST test 결과를 보여준다. NIST test의 15개 test 중 Frequency, Run, Rank, DFT test를 선택하여 실험을 진행하였다. 실험 결과, Triple-Chebyshev map은 Rank test를 통과하지 못했으며, m-수열은 Frequency, Run test를 제외한 나머지 test를 통과하지 못했다. 즉, 본 결과에 따르면, Triple-Logistic map과 Logistic-Sine-Logistic map을 이진 맵핑한 이진 수열은 랜덤 수열로 간주 될 수 있다.

#### Ⅲ. 결론

본 논문에서는 세 개의 단일 맵을 결합한 연접 혼돈 시스템으로부터 생성된 실수 수열을 두 가지 이진 맵핑 방식을 사용하여 이진 수열로 변환하고 이들의 상관특성을 m-수열과 비교하고, 균형 특성을 분석했다. 또한 NIST test를 통해 연접 혼돈 시스템으로부터 생성된 이진 수열이 m-수열보다 좋은 랜덤 특성을 갖는 것을 확인하였다.

## ACKNOWLEDGMENT

이 (성과)는 정부(과학기술정보통신부)의 재원으로 한국연구재단의 지원을 받아 수행된 연구임(No.RS-2023-00209000).

## 참고문헌

- [1] A. Michaels, "Digital Chaotic Communications," Georgia Institute of Technology Ph.D dissertation, 2009.
- [2] G. Heidari-Bateni, C.D. McGillem, "A chaotic direct sequence spread-spectrum communication system," *IEEE Trans. Commun.* vol. 42, pp.1524 1527, 1994.
- [3] G. Ablay, "Lyapunov Exponent Enhancement in Chaotic Maps with Uniform Distribution Modulo One Transformation," Chaos Theory Appl., vol 4, pp. 45 - 58, 2022.
- [4] Y. Zhou, Z. Hua, C. M. Pun, and C. L. P. Chen, "Cascade chaotic system with applications," IEEE Trans. Cybern., vol. 45, no. 9, pp. 2001 - 2012, Sep. 2015.
- [5] Z. Hua, B. Zhou, and Y. Zhou, "Sine chaotification model for enhancing chaos and its hardware implementation," IEEE Trans. Ind. Electron., vol. 66, no. 2, pp. 1273 1284, Feb. 2019.